

11N20MIMO_Ant1_5320



11N20MIMO_Ant2_5320



11N20MIMO_Ant3_5320



11N20MIMO_Ant4_5320



11N20MIMO_Ant1_5500



11N20MIMO_Ant2_5500



11N20MIMO_Ant3_5500



11N20MIMO_Ant4_5500



11N20MIMO_Ant1_5580



11N20MIMO_Ant2_5580



11N20MIMO_Ant3_5580



11N20MIMO_Ant4_5580



11N20MIMO_Ant1_5700



11N20MIMO_Ant2_5700



11N20MIMO_Ant3_5700



11N20MIMO_Ant4_5700



11N20MIMO_Ant1_5745



11N20MIMO_Ant2_5745



11N20MIMO_Ant3_5745



11N20MIMO_Ant4_5745



11N20MIMO_Ant1_5785



11N20MIMO_Ant2_5785



11N20MIMO_Ant3_5785



11N20MIMO_Ant4_5785



11N20MIMO_Ant1_5825



11N20MIMO_Ant2_5825



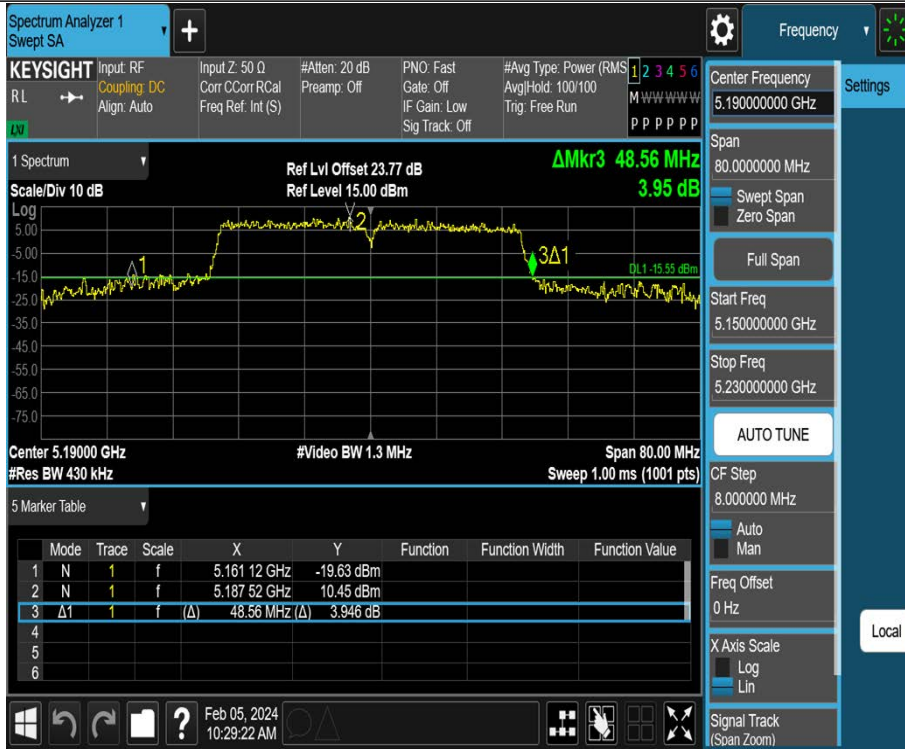
11N20MIMO_Ant3_5825



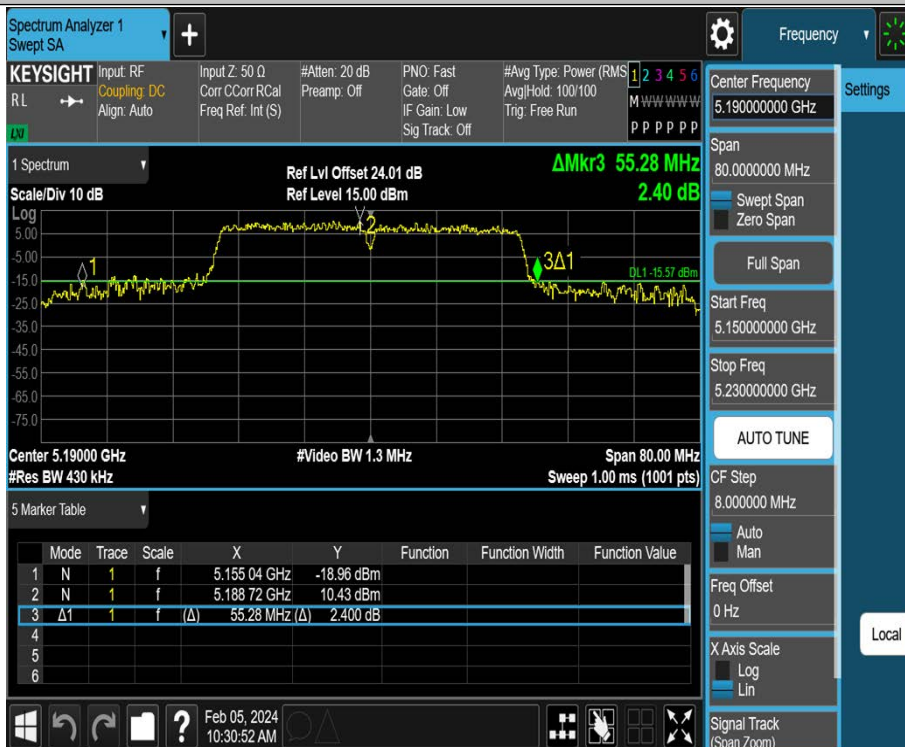
11N20MIMO_Ant4_5825



11N40MIMO_Ant1_5190



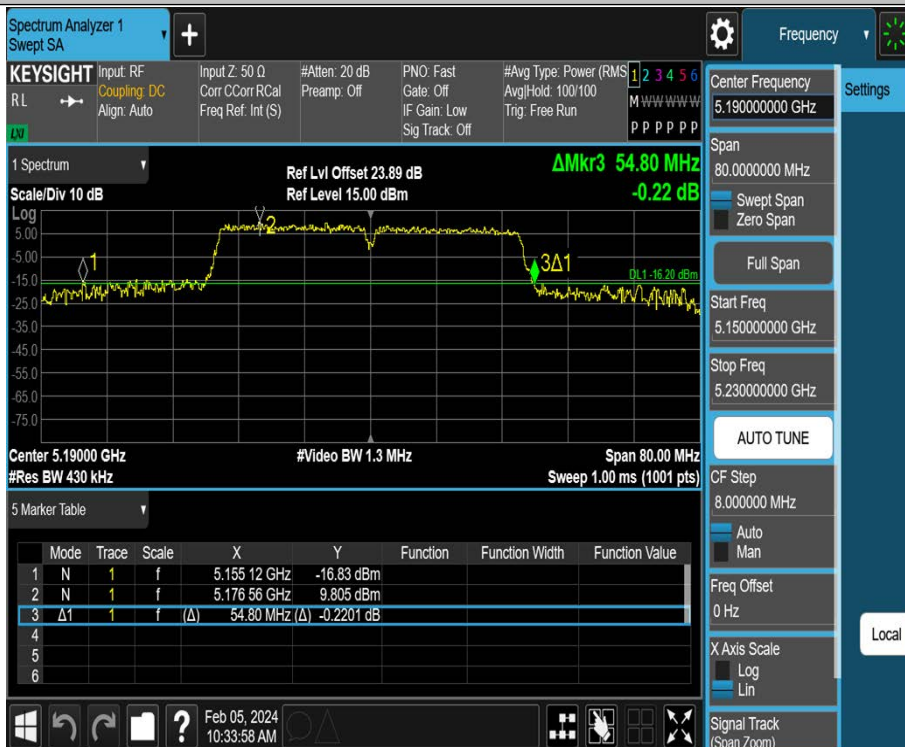
11N40MIMO_Ant2_5190



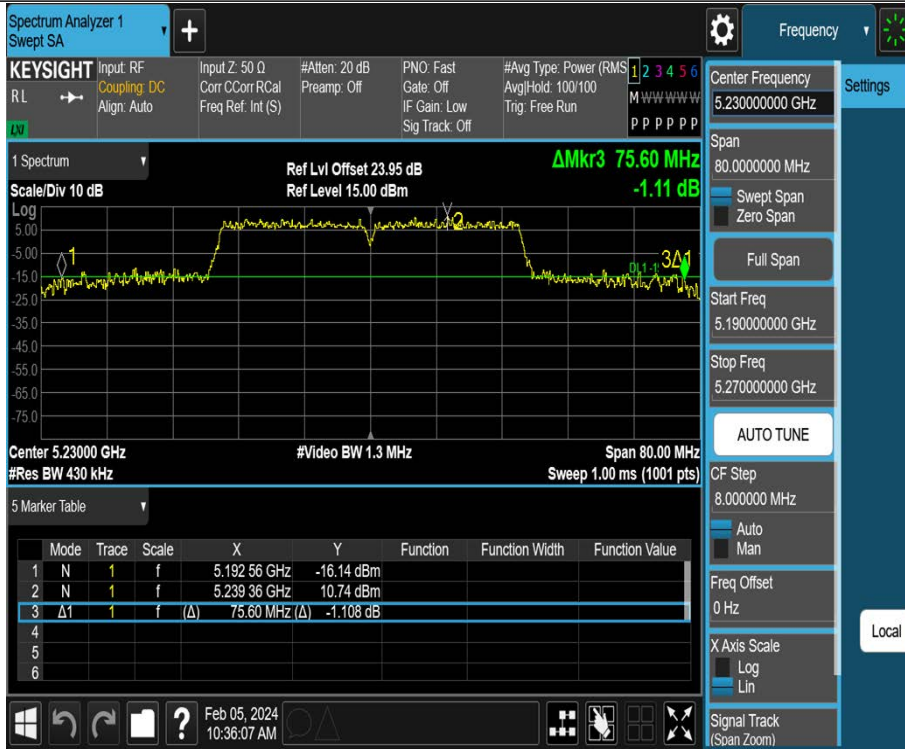
11N40MIMO_Ant3_5190



11N40MIMO_Ant4_5190



11N40MIMO_Ant1_5230



11N40MIMO_Ant2_5230



11N40MIMO_Ant3_5230



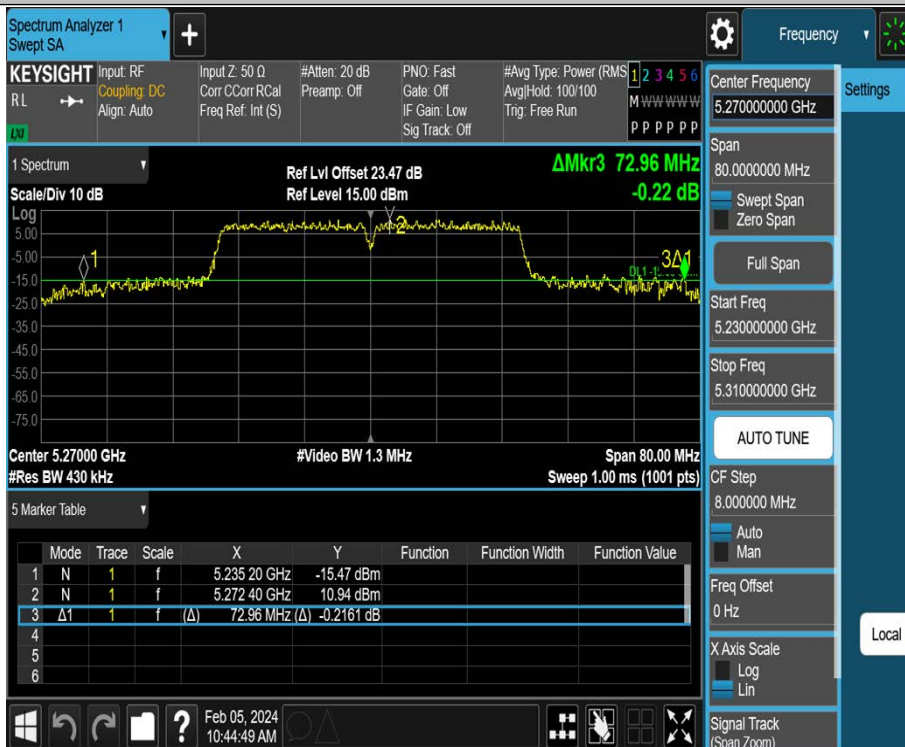
11N40MIMO_Ant4_5230



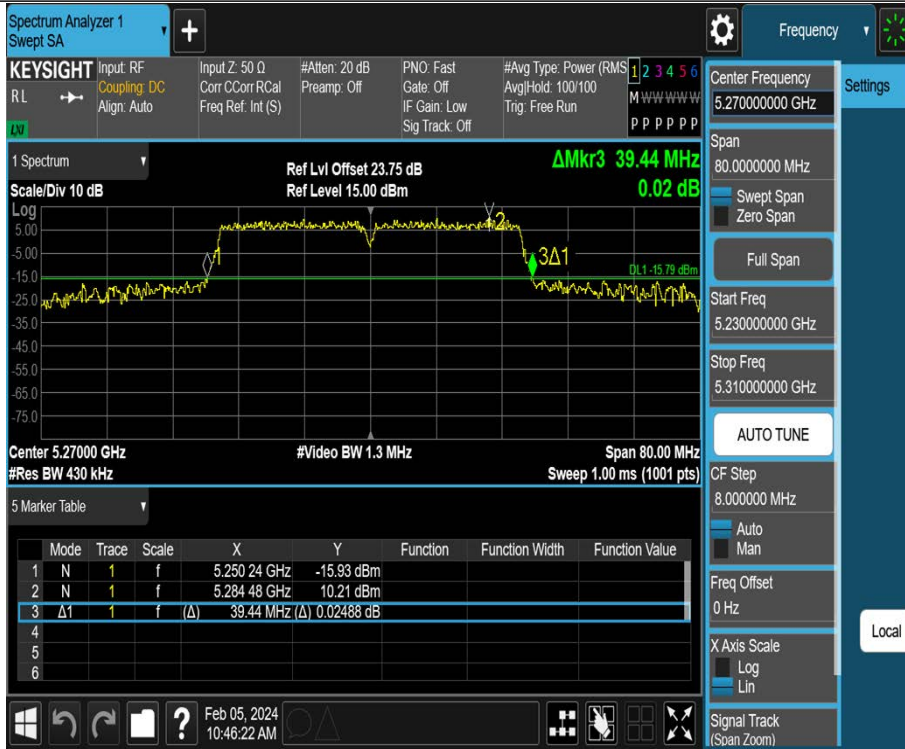
11N40MIMO_Ant1_5270



11N40MIMO_Ant2_5270



11N40MIMO_Ant3_5270



11N40MIMO_Ant4_5270



11N40MIMO_Ant1_5310



11N40MIMO_Ant2_5310



11N40MIMO_Ant3_5310



11N40MIMO_Ant4_5310



11N40MIMO_Ant1_5510



11N40MIMO_Ant2_5510



11N40MIMO_Ant3_5510



11N40MIMO_Ant4_5510



11N40MIMO_Ant1_5550



11N40MIMO_Ant2_5550

